

人工衛星軌道의 追跡에 관한 研究

電波研究所
전송기사 육재림
전송기원 김준상
윤광호

I. 序論

人類의 꿈이었던 宇宙開發의 結實로 SPUTNIK衛星이 1957.10.4 成功的으로 發射된 이래 人工衛星을 利用한 地球와 宇宙空間 및 行星間 空間에서의 各種 科學目的의 探查와 人類의 달 探險과 함께 實生活에 應用하기 위한 通信·放送 氣象 및 地球觀測, 航行과 測地, 遭難救助 등 日常生活에 까지 實用化하고 있으며 軍事目的의 電子 및 寫眞情報와 諜報蒐集特殊目標物의 識別과 位置確認 등 對衛星 兵器化와 이른바 별들의 戰爭을 위해서 強大國들이 技術開發에 拍車를 가하는 宇宙時代가 되었다.

이러한 人工衛星을 利用하기 위하여는 發射段階에서 부터 軌道에 投入하고 또한 軌道를 維持시키며 回收하는 段階까지 衛星의 運動軌跡을 正確히 追跡하여 位置와 運動軌道 情報를 把握하고 監視하여야 한다는 附加的 運用過程이 必要하며, 靜止軌道 衛星의 境遇에도 향시 그 位置를 把握하고 軌道 維持와 姿勢安定을 위한 追跡管制가 必要하며, 人工衛星의 位置追跡과 受信을 위한 人工衛星 追跡 方法과 種類 및 利用事項 등을 調査하였다.

II. 人工衛星의 軌道

人工衛星은 萬有引力의 法則과 Kepler의 3法則에 의해서 地球를 焦點으로 하는 楕円軌道

運動을 하고 있다.

이러한 楕円運動을 軌道 長半徑 (a)이 軌道의 크기를 決定하고 离心率 (e)이 그 軌道의 形態를 나타내며 軌道內의 衛星速度는 衛星과 地球를 連結하는 動經의 軌跡에 의한 面積速度가 一定한 speed를 갖는다.

1. 楕円 軌道

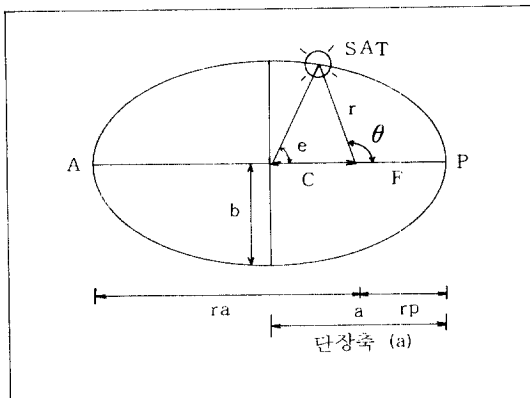


그림 1

$$r = \frac{a(1 - e^2)}{1 + e \cdot \cos \theta} \quad (1)$$

r ; 焦點 F로부터 楕円軌道像의 點까지의 距離

e ; 楕円의 离心率

θ ; 楕円의 長軸과 半徑 Vector 가 이루는 角

$$\text{따라서 } e = \frac{c}{a} = \sqrt{1 - \left(\frac{b}{a}\right)^2} \quad (2)$$

$$b = a \sqrt{1 - e^2}$$

$$c = \sqrt{a^2 - b^2} = ae, M = E - e \sin E;$$

平均 近點離角 (3)

近地點(P; perigee) 과 遠地點(A; Apogee)
과의 距離 r_p 와 r_a 는 $\theta = 0$ 와 $\theta = \pi$ 일 때

$$r_p = a - c = \frac{a(1-e^2)}{1+e} = a(1-e) \quad (4)$$

$$r_a = a + c = \frac{a(1-e^2)}{1-e} = a(1+e) \quad (5)$$

가 된다.

$$\text{따라서 } r^2 \frac{d\theta}{dt} = h \quad (6)$$

$$V = \frac{ds}{dt} = r \frac{d\theta}{dt} = \frac{h}{r} \quad (7)$$

橢圓軌道를 運動하는 衛星의 運動에너지와 Potential의 差는

$$U = \frac{1}{2} m V^2 - \frac{GmM}{r} \quad (8)$$

M ; 地球質量 m ; 衛星의 質量
G ; 萬有引力의 常數 V ; 軌道速度

$$\text{따라서 } \frac{mV^2}{r} = \frac{GmM}{r^2}, \quad V^2 = \frac{GM}{r} \quad (9)$$

$$U = -\frac{GmM}{2r} \quad (10)$$

半徑 Vector의 平均距離로서 r_p 와 r_a 的
平均值

$$r = \frac{r_a + r_p}{2} = \frac{2a}{2} = a \quad (11)$$

$r = a$ 라 하면

$$-\frac{GmM}{2a} = \frac{1}{2} m V^2 - \frac{GmM}{r} \quad (12)$$

$$V = \sqrt{GM \left(\frac{2}{r} - \frac{1}{a} \right)} \quad (13)$$

$$V_p = \sqrt{GM \left(\frac{1+e}{a(1-e)} \right)} \quad (14)$$

$$V_a = \sqrt{GM \left(\frac{1-e}{a(1+e)} \right)} \quad (15)$$

$r = a$ 라 하면

$$V_{\text{mean}} = \sqrt{\frac{GM}{a}} \quad (16)$$

따라서 $b = a \sqrt{1 - e^2}$ 을 利用

$$T = \frac{2\pi a^2 \sqrt{1 - e^2}}{h} = 2\pi \sqrt{\frac{a^3}{GM}} \quad (17)$$

2. 円 軌道(Circular Orbit)

地球를 中心으로 하는 原型軌道의 境遇

$e = 0$ 가 되므로

$r = R_o + h$ 라고 하면

$$V_e = \sqrt{GM/a} \text{ 가 되고} \quad (18)$$

重力의 加速度 g 를 使用하면

$$\frac{mVg^2}{a} mg, \quad V_e = \sqrt{ag} \quad (19)$$

$$g = g_o \frac{R_o^2}{a^2} = g_o \frac{R_o^2}{(R_o + h)^2} \quad (20)$$

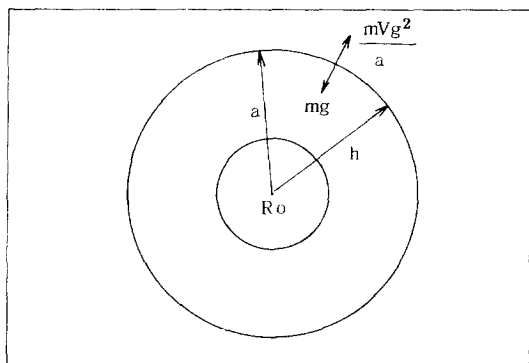


그림 2

g = 重力 加速度, g_o = 地球 表面에 시의 重力 加速度

따라서

$$V_c = R_o \sqrt{\frac{g}{a}} = R_o \sqrt{\frac{g_o}{R_o + h}} \quad (21)$$

$$T = \frac{2\pi a}{V_c} = 2\pi \sqrt{\frac{a^3}{GM}} = 2\pi \sqrt{\frac{(R_0 + h)^3}{GM}}$$

가 된다. (22)

3. 衛星軌道 要素

人工衛星이運動하는軌跡의 어느時角(Epoch Time; T)에 대한運動軌道를 구하기 위한軌道要素(Orbital Element)는 다음과 같이表示된다.

- 가. 長半徑(Semi-major Axis; a) 楕円中 心으로부터遠地點(Apogee)까지의距離
- 나. 離心率(Eccentricity; e) 楕円中心으로부터地球中心까지의距離와長半徑의比

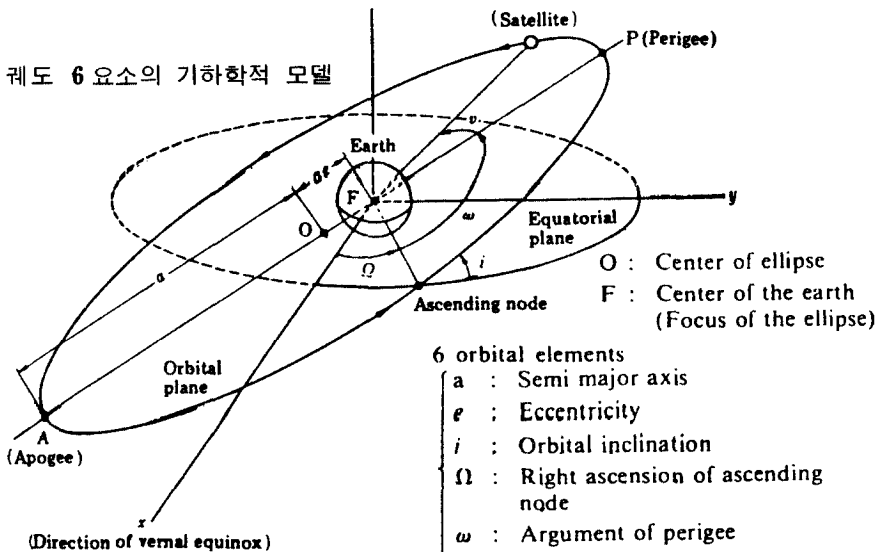
다. 傾斜角(Inclination; i) 地球의赤道面과軌道面의 이루는角

라. 升交點赤徑(Right-ascension of the ascending Node; Ω) 衛星이南에서北으로赤道面을通過하는點의經度를升交點이라고하며,地心으로부터春分點方向의直線과升交點方向의直線이이루는角

마. 近地點因數(Argument of perigee; ω) 升交點으로부터近地點(perigee)까지이루는角

바. 平均近點離角(Mean anomaly at epoch; M) 平均角速度로서運動한다고假定할境遇의衛星近地點으로부터이루는角

그림 3. 軌道 6 要素의 기하학적 모델



4. 衛星 軌道의豫測;

Kepler第3法則에의해서軌道의週期(Anomalous Period; P)가軌道長半徑(a)에의해서구해지면平均加速度(n)는近地點通過時刻(Epoch Time; T)에의해서 $n=2\pi/P$ $M=n(t-T)$ 로어느時刻(t)에대한軌道豫測이이루어진다.

따라서 $M=E-e\cdot(\sin E)$ 가되므로

$$r \cdot \sin V = a \sqrt{1 - e^2} \sin E$$

$r \cdot \cos V = a \cdot \cos E - ae$ 의關係式이導出되어軌道의豫測이可能하다.

또한衛星追跡方向情報에의한軌道要素의決定은人工衛星이地球를中心으로運用시에

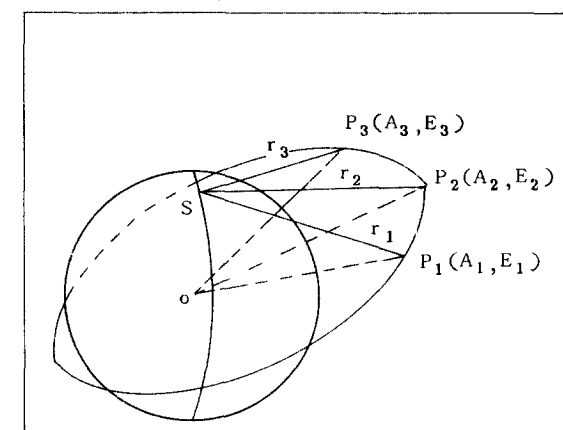


그림 4

느 時刻에서의 衛星追跡 情報에 의해서 이루는 時刻과 方位角 및 仰角情報 (t_1, A_1, E_1) (t_2, A_2, E_2) (t_3, A_3, E_3) 가 얻어지고 地面 觀測地點 S로부터 이루는 距離 (Slant path) 가 구해진다.

0點 까지의 Slant Range Vector P_1, P_2, P_3 는 座標 變換되어 地心으로 부터 衛星까지

의 半徑 Vector r_1, r_2, r_3 가 구해지고 각 地心을 通過하는 平面 方程式은 $c_1 r_1 - r_2 + c_3 r_3 = 0$ 의 Gauss 方程式을 滿足하는 c_1, c_3 을 구하고 r_1, r_2, r_3 에 包含된 軌道面이 確定되면 軌道傾斜角 (i) 昇交點赤徑 (Ω) 이 구해지고, 長軸方向을 알 수 있으며, 軌道長半徑 (a) 과 離心率 (e) 가 구해진다.

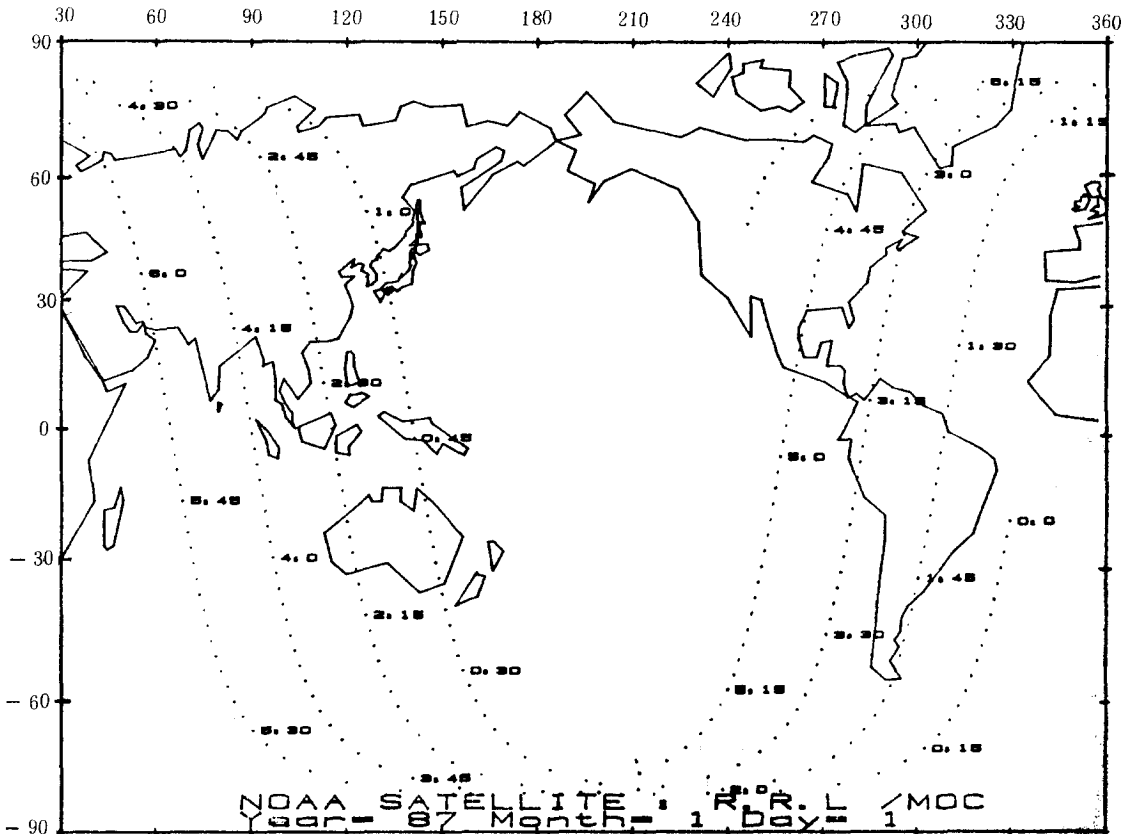


그림 5. NOAA-10 계도 예측투명도

그러나 軌道 方程式을 알 수 없을 境遇에는 이 方向과 a, e 는 r_1, r_2, r_3 로 부터 生成된 부채꼴의 面積이 楕円의 어느 部分에 있는 境遇 觀測時間과의 關係에서 Kepler 第2法則에 의해 觀測點이 判明된다.

이 長軸 方向과 昇交點 方向과의 이루는 面으로부터 近地點因數 (ω) 가 구해지고 r_1 과 長軸 方向에서 時間 t_1 에서의 衛星位置를 알 수 있으며, 여기에서 速度 v 와 平均近點離角 (M) 이 구해진다.

5. 衛星軌道의 變化

가. 發射 位置의 影響 (Launch Site);

人工衛星 發射時 地球의 回轉이 없다고 假定한다면 軌道의 傾斜角 i 와 發射時의 條件에 의해서 $\cos i = \cos y, \sin A$ 가 되어진다.

여기에서 y ; 衛星 發射點의 經度, A ; 衛星 發射 方向

따라서 衛星의 發射角度는 偏向되므로 $\sin i = y$ 가 되어야 하고 人工衛星 發射時 地球에서의 脫出速度를 考慮하여 7,912m/s의 地球 自

轉速度가 없다고 假定한다. 그러나 地球의 自轉으로 인한 赤道上에서의 接線 speed는 最大 465 m/s 가 加算되어져 그만큼 speed가 減少되는 結果가 된다.

나. 重力場 變化 影響

地球自轉에 의한 發射點으로 부터 地球의 重力場의 位置 (Gravitation Potential)에 따라 變化함으로서 衛星軌道가 變化한다. 즉 升交點 經度 (Ω)는

$$\Delta\Omega = \frac{-k \cos i}{a^{7/2} (1-e^2)^2} \text{ (rad/sec)}$$

k 는 地球 平衡을 定數로서

$$K = JR\omega^3 \sqrt{g_0}$$

$$J = 0.001636$$

R_o = 地球半徑

g_0 = 地球 表面의 重力 加速度

$$\text{원 軌道의 境遇 } \Delta\Omega_c = \frac{-k \cos i}{(R_o + h)^{7/2}} \text{ 가}$$

되어 이 偏向의 日日 變化率을 구하면 楕円 軌道에서는

$$\Delta\Omega = -10 \left(\frac{R_o}{a} \right)^{7/2} \frac{\cos i}{(1-e^2)^2} \text{ (deg/day)}$$

또한 円軌道에서의 경우

$$\Delta\Omega_c = -10 \left(\frac{R_o}{(R_o + h)} \right)^{7/2}$$

$$\cos i \text{ (deg/day)}$$

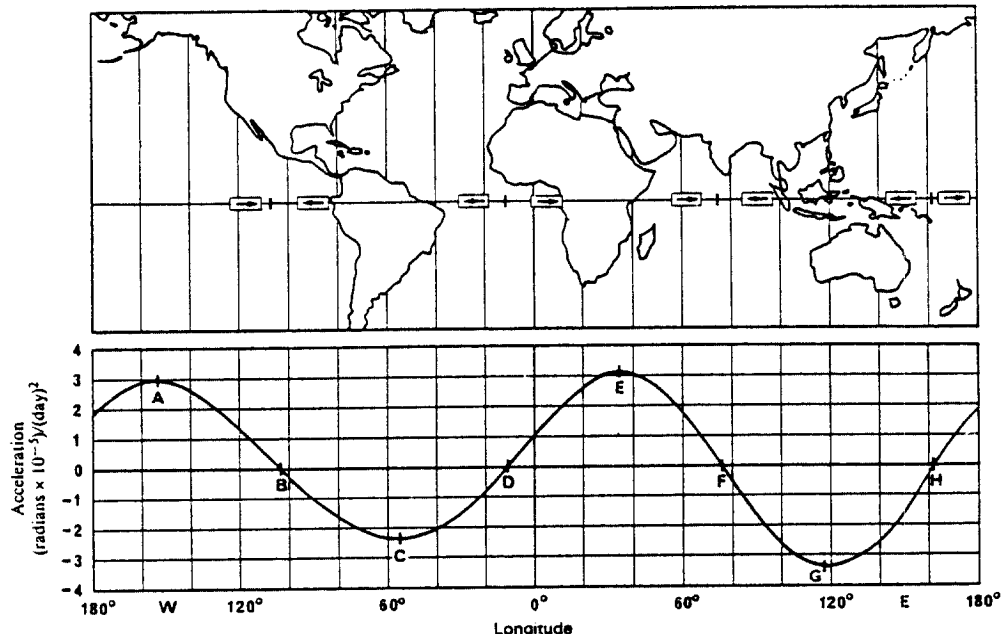


그림 6. 지구중력장 变동에 의한 정지궤도 위치변동

다. 地球磁界 影響

地球磁界 (Geo-magnetic Field)에 의한 變化는

$$B = B_0 \sqrt{1 + 3 \sin^2 \phi} \left(\frac{r}{a} \right)^3, (B_0 = 0.31 \text{ Gauss})$$

에 의해서 衛星이 回轉 함으로써 Eddy current 가 發生하여 3 軸 姿勢安定 (3-axis stabilized) 衛星의 境遇 姿勢安定 Wheel의 Torque가 變化되어 衛星姿勢 變化와 軌度의 變化要因이 된다.

라. Solar Radiation 影響

靜止軌道 衛星의 境遇 Sun-sensor에 의한 Sun-sensor 角度의 季節的 變化에 의해서 姿勢制御의 變化와 Solar wind에 의한 影響으로 姿勢와 軌道의 影響을 받고, 軌道衛星도 Solar energy에 의하여 運動 moment가 變化되어 軌道變化 要因이 된다.

마. 大氣壓力 變化에 의한 影響

低高度의 軌道衛星의 境遇 衛星體의 模樣과 運動의 方向 및 大氣壓力의 關係에 의해서 衛星運動 方程式이 變化되어 軌道의 變化 要因을 發生시킨다.

바. 宇宙 낙진 및 流星과 感星에 의한 影響

宇宙낙진과 流星에 의한 抵抗으로 衛星의 運動方程式이 變化되고, 特히 太陽과 달의 위치關係에 의한 引力의 影響은 至大하다.

사. 衛星體內의 構造에 의한 影響

人工衛星의 構造 또는 質量變化에 의해서 運動方程式이 變化하는 要因이 發生한다. 例로서 各種 안테나 또는 遠隔探查 衛星의 카메라 등의 位置變化에 따른 Torque 變化와, 衛星 推進體의 消耗등에 의한 質量變化는 衛星運動 方程式이 變化되어 軌道 變化 要因이 된다.

6. 實用 人工衛星 軌道의 分類

가. 極軌道 (Polar Orbit) ; 衛星의 軌道面이 地球의 兩極을 包含할 때 이 軌道를 極軌道라고 한다. 衛星軌道면 Vector와 地球自轉角運動量과 이루는 軌道傾斜角 (i) 가 $\pi/2$ 의 軌道라고 定義하며 地球全體를 觀測할 수 있다.

例) ISIS

나. 太陽 同期 軌道 (Solar-Synchronous Orbit) ; 衛星의 軌道面이 太陽의 1 荷성년에 地球 空轉과 同一한 方向으로 1回轉하며, 角速度도 1日에 約 1度씩 變化를 하여 同一位置의 地點上을 每日一定한 地方平均 太陽時에 通過하는 軌道를 갖는다. 따라서 ;

$$\Omega\theta = 2\pi/Y\theta$$

$Y\theta$; 荷성년 (365.25636049 Ts)

Ts ; 平均 太陽日 (24時間)

例로서 Nimbus, TIROS, ESSA, ITOS NOAA 등이 있다.

다. 回期 軌道 (Recurrent Orbit) ; 衛星이 地表面의 特定 地域을 每日 또는 日程週期마다 反復通過를 하는 軌道를 말하며, $NTw\theta = 2\pi + NT\dot{\Omega}$ 여기에서 N ; 각의 1日의 回歸數(定數) $W\theta$; 地球自轉 각速度 ($2\pi/T\theta$), $T\theta$; 地球自轉週期 [$(Y\theta/Y\theta + Ts)Ts$] 따라서 赤道上에 隣接한 軌跡의 間隔은 $D = 2\pi ae/N$ 가 되어 特定 地域을 定期的인 觀測 比較時 利用한다.

例) 諜報衛星

라. 準回期 軌道 (Near-Recurrent Orbit)

地表面의 全域을 日程週期에 觀測하여 衛星의 軌道를 東에서 西로, 西에서 東으로 移動시키며 回轉轨道의 特性을 갖게 한다.

즉 $(MN \pm 1)Tw\theta = 2\pi M + (MN \pm 1)T\dot{\Omega}$ 여기에서 M日間의 回期數를 表示하며 M은 2以上의 定數로서,

衛星軌道의 等間隔은 $D = 2\pi ae/(MN \pm 1)$

이 된다.

準回期 極軌道의 境遇 $\dot{\Omega} = 0$ 가 되어 $(MN \pm 1)Tw\theta = 2\pi M$, $T = 2\pi M / (MN \pm 1)w\theta$ 가 되어서, $T = MT\theta / MN \pm 1$ 이 된다.

地球 全體의 季節 變化와 日日變化의 觀測이 可能하다.

마. 太陽同期 回歸軌道 (Sun-Synchronous Recurrent Orbit) ; 衛星이 特定地域을 特定時間에 通過하도록 選定하는 軌道로서 $T = 2\pi / N (W\theta - \dot{\Omega})$ 에 의해서 $T = Ts/N$, $ao = (kT)^{2/3} / 2\pi$ 가 되도록 한다.

例) NOAA/TIROS-N

바. 太陽同期 準回期 軌道 (Sun-Synchronous Near-Recurrent Orbit) ; 衛星 地表面 大部分을 同一緯度의 地點에서는 同一 地方太陽時에 一定期間마다 通過하기 위한 軌道로서

$T = MTs/MN \pm 1$ 이 되도록 한다.

例) 地球觀測衛星 ; LANDSAT, SPOT

사. 同期 軌道 (Synchronous Orbit) ; 回歸數가 1인 軌道를 말하며 週期는 地球自轉週期인 23 h 56 m 04 s로서 $Tw\theta = 2\pi + T\dot{\Omega}$, $n + w + \dot{\Omega} = \omega\theta$ 인 衛星의 空轉週期가 感星 自轉週期와 같은 것을 말한다.

通信·放送등의 境遇 靜止軌道가 要望되나 高緯度 地域에서는 觀測이 不可能하므로 4時間

정도 高度에 靜止시켜 수개의 衛星이 交代로 利用되도록 한다.

例) 蘇聯의 MOLNYA 通信衛星

아. 靜止軌道(Geostationary Orbit) ; 地表面(Sub-point)에 대해서 衛星의 軌跡이 航상 靜止되어 있도록 傾斜角(i)과 離心率(e)이 0인 同期 軌道로서, $T\theta = 2\pi/n + w + \Omega$ 가 되어 空轉 週期는 地球 自轉週期 23 h 56 m 04 s가 되고, 高度는 赤道上空 35787Km가 된다.

그러나 地球는 完全한 楕圓體가 아니므로 赤道面과 Geoid面의 交叉線이 0가 되지 않고 楕圓이 되어 E 72 度와 W 108 度 부근에서는 長時間安定되지 못하여 年 약 0.86 度 정도(i)가 變化한다.

III. 人工衛星의 追跡

人工衛星의 追跡(tracking)은 衛星의 瞬間的인 時間(t)에 대한 位置情報인 方位角, 仰角 및 거리와 거리 變化率 등을 把握하여 衛星의 發射段階에서부터 正常的인 運用與否를 決定하기 위한 중요한 過程이 된다. 人工衛星을 追跡하기 위한 方法으로는 望遠鏡을 이용한 光學的追跡과 電磁波의 特性을 이용한 電波追跡 方法이 있다. 光學追跡 方法으로는 普通의 望遠鏡(Telescope)과 Camera에 의한 方法(Schmidt Camera)를로서 直徑 20 cm 以上的 世界主要光學追跡裝置를 보면 i) Baker-Nunn Camera ii) Hewitt Camera, iii) Russian AFU-75 Camera, iv) GEODSS System v) LASER Traking 그리고 其他の Schmidt Type 등이 있고, 電波에 의한 Radio追跡方法으로는 i) Radio Interferometer tracking ii) Doppler Tracking iii) Side tone range iv) two-way coherent Doppler system 등이 있고 Automatic direction Tracking 方法들이 있다.

1. Optical Tracking System

가. Baker-Nunn Camera ; 1958年 美國의

James G. Baker 와 Joseph Nunn이 Super Schmidt-Type을 利用하여 만든것으로서 直徑이 51 cm, 촬影거리 51 cm, 反射鏡 76 cm, 3 축 Gimbal System의 望遠鏡과 Camera로서 追跡視角(Field of View) 30 度, 追跡精度 0.0002 度(deg)의 超精密 Camera이다. 이 Camera의 航行 視等級(Photographic Stars Magnitude) -14 等級이며 人工衛星의 境遇 -12 等級까지 追跡이 可能하다. 이 裝置는 Smithsonian 天體觀測所에 設置運用되고 있어 1960年代부터 約 12개 Site에서 運用하고 있다.

나. Hewitt Camera ; 1950年代 말경 英國의 Royal Radar Establishment의 Joseph Hewitt가 設計하고 Grubb Parson社에서製作된 것으로, 人工衛星과 彈道誘導彈의 軌跡을 追跡하기 위해서製作한 直徑 86 cm의 反射鏡으로서, 衛星 追跡精度 0.0003 度(deg)를 4000km의 距離에 있는 衛星 視等級 -10에서까지 追跡이 可能하다.

1963 年度에 Evesham에 設置되었고 1980 年度에 豪洲의 New South Wales에 있는 Siding Spring에 再設置 運用中에 있으니 Edinbuggh의 王立天文台에 設置된 2번째 望遠鏡이 Greenwich 王立天文台에 設置 運用中에 있다.

다. Russian AFU-75 Camera ; 蘇聯의 Riga University에 있는 衛星 追跡所에 K. K. Lapushka 와 M. K. Abele가 1965 年度 設計 한것으로서 Baker-Nunn Camera 형과 같아 4一軸 Mounting으로 設計하였다.

光學系는 7段 Lens로 된 直徑 21 cm이며, 촬影거리 74 cm, 追跡可能視角(Field of View)이 10 度 × 14 度 Camera의 映像 Film 크기는 19 cm이며 人工衛星의 視等級 -10 까지 0.001 度(deg)의 精度로 追跡이 可能하다.

이 裝置는 1970 年度부터 蘇聯의 Riga, Uzhgorod, Zvenigorod, Pulkovo에 設置되었고 Ondrejov(Zechoslovakia), Sofia(Bulgaria), Cairo(UAR), Afghoi(Somalia), Kerguelen Island(Indian Ocean), Mirny

(南極)에 設置 運用中에 있다.

라. 其他 大型 Camera : 스위스의 Zeiss SBG Camera (GDR) 가 直徑 4 cm이고, 프랑스의 Antares 가 直徑 30 cm, Finland 의 Schmidt-type 이 直徑 34 cm, 蘇聯의 直徑 50 cm 大型 Tracking Camera VAU가 運用되고 있다.

마. GEODSS : 美國 空軍의 Ground based electro-optical deep space surveillance system(GEODSS)이 電子 - 光學的 1개 site에 直徑 1.02 m의 視角 2 度 望遠鏡 2개와 直徑 38 cm, 視角 6 度의 望遠鏡 1개의 3개가 system으로서 각 Station에 構成되어 映像을 既存 Camera의 境遇 Film에 記錄하는 대신 Vidicon Tube Radiometer에 의해 Computer로 運用 및 測定結果가 CRT 上에 Real-Time 으로 出力되어 5,000 km ~ 36,000 km의 人工衛星을 0.0005 度의 精度로서 位置測定이 可能하다.

이 裝置는 4 軸 Mount 上에 무게가 약 9톤으로 White-sands (New Mexico), Maui (Hawaii), Taegu(Korea) eastern Atlantic

region, Indian Region에 各各 設置 運用中에 있다.

바. LASER Tracking ; 1972 年 Goddard Space Flight Center에서 最初로 開發 運用하였고, 1982 年 英國 Greenwich 王立天文台에 設置하여 運用中에 있다.

LASER는 Nd-Yag(5320 Å)의 紅色 系列로서 直徑 10 cm의 光學計와 直徑 50 cm의 反射鏡을 利用하여 人工衛星의 位置를 2 cm의 精度로 測定이 可能하다.

GSFC에서 運用中에 있는 LASER Tracking Station은 Kauai (Hawaii), San-Diego (California), Goldstone (California), Big Pine (California : Valley Radio Observatory), Quincy (California), Bear Lake (Utah), Westford (Massachusetts : Haystack Radio Observatory), Maui (Hawaii), Fort Davis (Texas), Bermuda (U.K.), Patrick AFB (Florida), Grand Turk Island (U.K.), Madrid (Spain), Kwajalein (Marshall Island), Yarragadee (Australia), American Samos

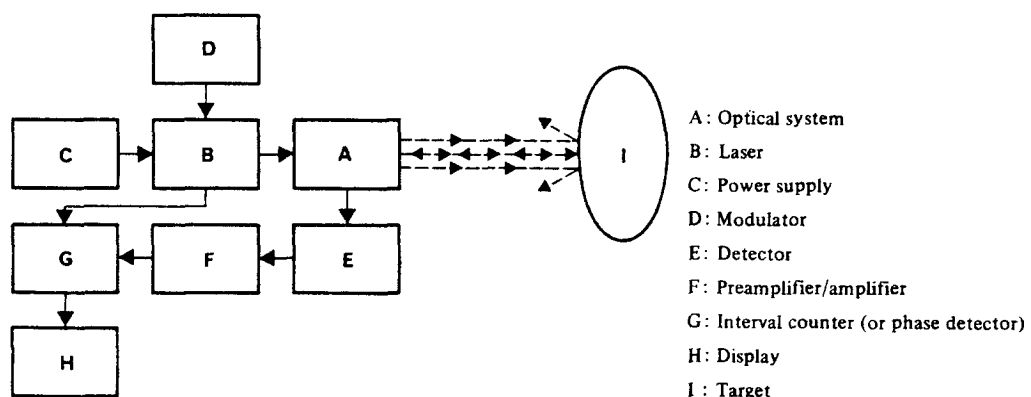


그림 7. LIDER system 구성

2. Radio Tracking System

電波追跡 System은 電磁波의 到來 信號特性을 利用한 것으로 到來角度의 測定方法으로 Interferometer 와 안테나 自動指向 追跡裝置, Doppler 效果를 利用한 追跡裝置 그리고 衛星

까지 發射된 電波의 時間 遷延差를 測定하는 Ranging 裝置가 있다.

가. Interferometer Tracking : 人工衛星에서 發射된 信號(I)를 一定한 間隔의 거리(L)에 있는 2 개의 Antenna에서 동시에 瞬間

의으로 测定하여 2개 Antenna 間의 Wave-front 到來 時間의 位相遲延差 (ϕ) 를 测定하여 人工衛星의 電波의 到來方向 (a) 을 구한다.

$$a = \cos\left(\frac{\phi \lambda}{2L}\right)$$

i) 裝置는 NASA에서 136 MHz 帶의 Beacon 周波數를 0.02 도 精度로 测定하는 MINTRACK System을 世界各地 12 개소에 設置하여 20 餘年間 1983년 TDRS 衛星의 利用시 까지 運用하였다.

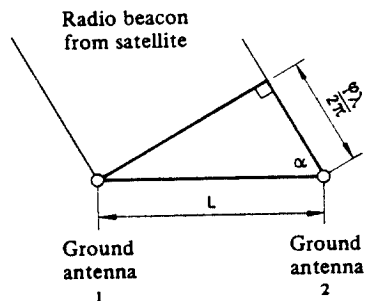


그림 8. Interferometer system

나. Doppler Tracking : 人工衛星에서 發射된 周波數는 人工衛星의 相對的인 運動速度 變化에 따라서 受信周波數가 Doppler 効果에 의해 變化된다. Doppler 测定裝置는 Beacon 受信機와 BFO 그리고 精密 Clock 과 Frequency counter 그리고 그 Channel Recorder에 의해서 約 0.1 秒 間隔으로 测定하여 衛星이 가장 가까운 距離에 通過할 경우 Doppler 曲線 變化率이 最大가 되는 PCA(Point of Closet Approach) 와 이때의 時角 TCA (Time of Closet Approach) 를 구하여 2 개소以上의 追跡에 의해 人工衛星의 距離變化率과 衛星速度 軌道 半徑 그리고 衛星까지의 距離(最短 距離) 位置와 高度등을 計算할 수 있다.

이 方法을 利用한 美國의 航法衛星 Trasit 그리고 NAVSAT 및 GPS(Global Positioning Satellite System)의 140MHz 와 400MHz의 周波數를 受信하여 1 m까지 자기 受信位置情報 를 얻을 수 있다.

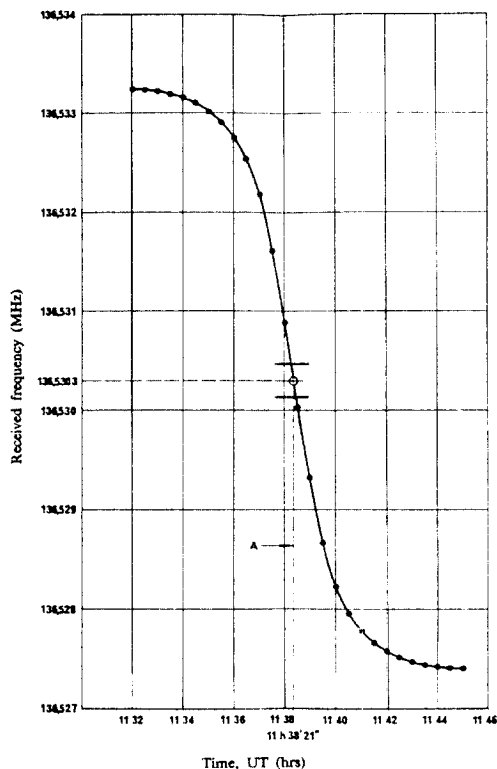


그림 9. Doppler 効果測定 DATA의 例

다. Rader Tracking : 高出力 超精密 测定 Rader 를 利用한 低軌道의 人工衛星을 探索하여 位置와 距離를 追跡하는 것으로서 美國의 NORAD (North American Air Defence Command)에서 運用中에 있으며 4,000 km의 距離에서 10 cm 크기의 物體를 探知할 수 있다. 初期에 Ballistic Missile Early Warning Station 으로 Clear (Alask) 를 최초로 Thule (Greenland) Fylingiales Moor (England)에 建設 運用中이며, 大型의 32x32 m의 Phased array 를 利用한 RADAR System 이 Eglin, Florida, Shemya, Alask에 設置하였고 小型이지만 非常强力한 RADAR System 이 Antigua, Ascension Island, Pave Paws (Beale AFB) Otis AFB에 各各 設置 運用中에 있다.

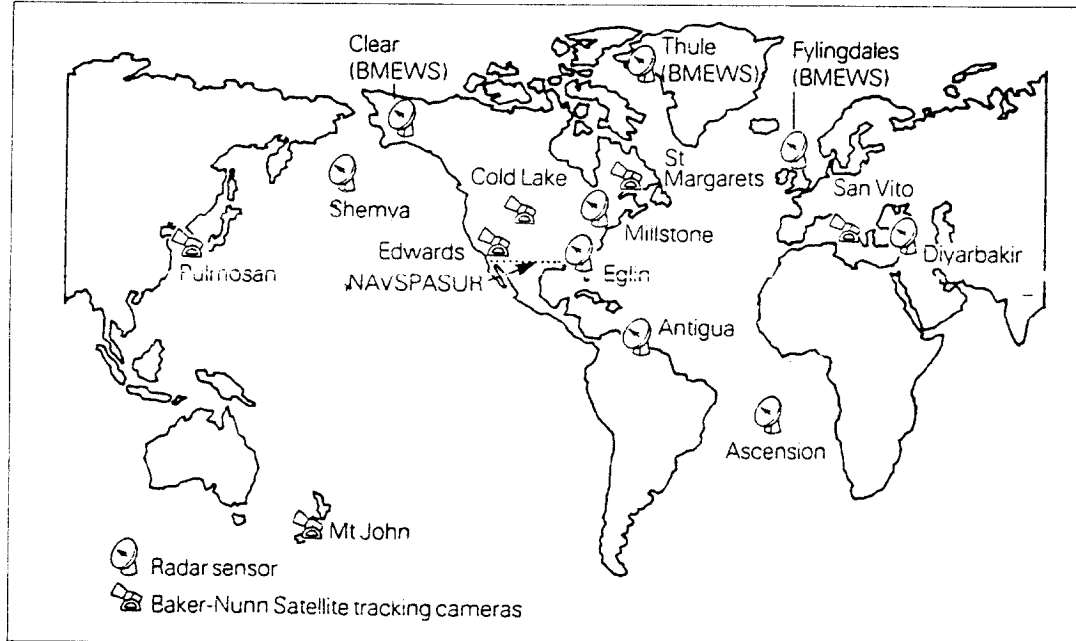


그림 10. NDRAD의 GEODDS와 Tracking Network

라. NAVSPASUR System: 美海軍 Naval Research Lab의 Dr. Rogers Eastons에 의해서 考案된 것으로서 高出力 Rader와 高感度 Interferometer System을 複合의으로 利用한 것이다. 이 System은 217 MHz의 810 Kw 高出力의 電波를 단일 Array가 2556 개의 dipole로서 構成되어 東西와 南北間 3 km區間에 配置되어 있는 3 개의 送信所와 美本土上 약 N 33도 線上의 附近인 San Diego로 부터 Fort Stewart에 까지의 6 개 受信 시스템에 의해서 어느 人工衛星이든지 南北 또는 東西方向에서 매우 예리한 Fan-beam Array의 電波

를 反射시키고 이를 檢出할 수 있도록 된 System으로서 500 km 以上의 高度에 있는 人工衛星의 追跡精度는 200 m이내로 되어있고 각 수신 system에 의한 檢出信號는 Dahlgren(Virginia)에 있는 NAVSPASURHQ의 秒大型 Computer에 의해서 一日 約10萬개의 衛星軌道 情報가 處理되어 NORAD에 提出된다. 이 system의 送信所는 Lake Kikapoo (Texas)를 Main-Station으로 Gila River 그리고 Jordan lake에 있으며 6 개의 Interferometer는 San Diego, Elephant Butte, Red River, Silver lake, Hawkinsville, Fort Stewart에 있다.

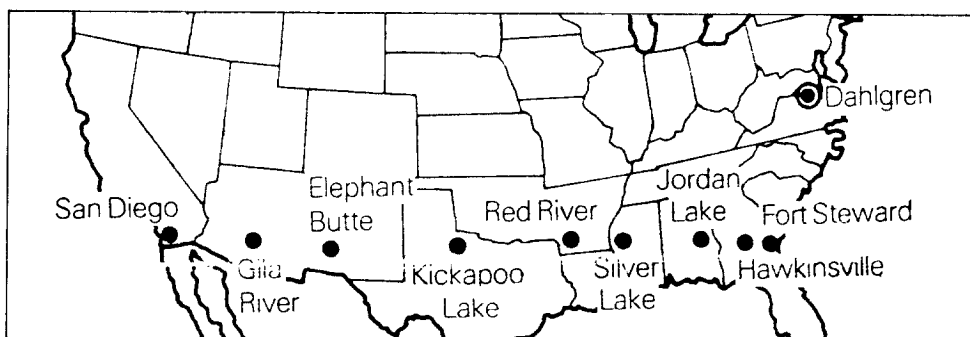


그림 11. NARSPASVR tracking Network

마. Automatic Tracking Antenna : 自動追跡 안테나는 人工衛星에서 發射된 Beacon 波를 受信하여 到來 方向에 受信 안테나를 一致 시켜 自動追跡하므로서 이때의 안테나 指向角度

(方位角, 仰角)를 Encoder에 의해서 發生시켜 指向 方向情報を 取得한다. 이 方式은 一般衛星通信 地球局과 衛星追跡 管制 System으로 많이 利用되고 있다.

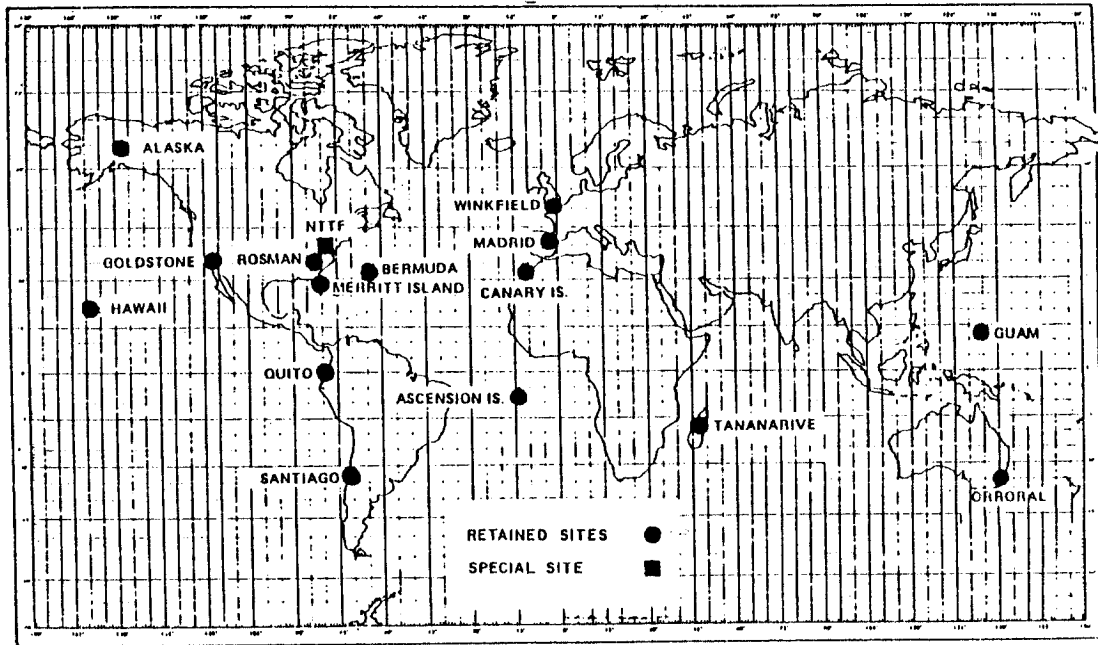


그림 12. NASA Spaceflight Tracking Network

(1) 自動追跡 안테나는 lobe-in tracking 과 Monopulse tracking 方式으로 區分된다. lobe-in tracking 은 Beam Scanning, Beam-switching, step-tracking 方式이 있다.

(a) Beam-Scanning tracking : Antenna의 Beam을 回轉시켜 Beam 中心으로 부터 衛星電波 信號의 到來 方向에 誤差가 發生時 振幅變調되는 効果를 利用하여 誤差 電壓에 의한 角度를 檢出시켜 안테나를 구동 追跡한다.

(b) Beam-switching tracking : Beam回轉 대신에 一次 反射器의 指向 方向을 달리한 複數개의 Beam 안테나를 만들어 順次的으로 電氣的 switching에 의한 等價 Beam-scanning 을 發生하여 Boresight로 부터 發生되는 指向 誤差를 檢出시켜 안테나를 구동 追跡한다.

(c) Step-tracking : 안테나를 一定한 方向으로 微小한 角度의 變化를 시킴으로서 受

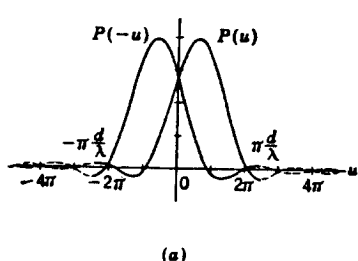
信 強度가 最大가 되는 方向을 檢出하여 指向 시키는 停止衛星用 小型 地區局들이 많이 利用 한다.

(2) Monopulse tracking 은 Multi-Horn 그리고 高次 Mode Monopulse tracking 方式이 있다.

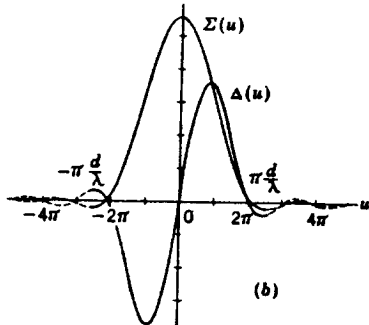
(a) Multi-Horn Monopulse tracking : Boresight에서 약간 뒤틀린 (squinted) 角度를 갖는 複數개의 Beam 안테나의 出力を Hybrid로서 Sum (Σ) 그리고 different (Δ) 信號를 發生시켜 Σ , Δ 의 合成值에 의해서 指向誤差 發生에 의한 誤差電壓을 利用하여 안테나를 구동 追跡시키는 方法으로서, 振幅 比較 方式과 位相比較 方式으로 區分할 수가 있고, Beam 幅을 예리하게 하기 위하여서 Multi-Array System 方式이 利用된다. 이 方式은 各國의 衛星追跡 및 管制를 위한 追跡方式과 그 使

用 안테나로서 많이 利用되고 있으며 當 電波研究所에 設置된 衛星電波 受信追跡方式에도 Band-1,2에서 cross-dipole Array로 한 振幅比

較 方式의 Monopulse tracking Antenna를 採用하고 있다.



(a)



(b)

그림 13. Monopulse Tracking 방식 원리도

(b) Higher-mode Monopulse tracking System: 이 方式은 M/W帶의 waveguide를 急 給電器로 利用하는 tracking Antenna에서 TM 01, TE01 또는 TE21의 基本 Mode를 갖는受信 안테나가 指向誤差 發生時 基本 Mode 와 高差 Mode가 發生되어 高差 Mode를 檢出시켜 基本 Mode 와 高差 Mode의 Σ , Δ 를 구하여 誤差 電壓으로서 안테나를 구동 追跡시킨다. 이 方式은 M/W帶의 C-Band 以上 周波數를 利用하는 停止 通信 · 放送衛星 등의 追跡用으로 많이 利用된다.

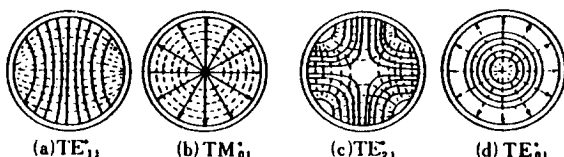


그림 14. Higher Mode의 도파관내 전자계 분포

바. Ranging System: 人工衛星과 tracking station과의 正確한 距離를 測定하여 衛星追跡 位置를 把握하기 위해서는 tone-Ranging 과 Laser-Ranging 方式이 利用된다.

(1) Tone-Ranging은 NASA에서 開發된 것으로서 高 安定度의 時角裝置의 clock 信號에 同期된 500KHz, 100KHz, 20KHz의 major tone을 Range tone Generator에 의해 發生시키고 不明瞭性을 除去하기 위해 800Hz,

160Hz, 40Hz, 10Hz의 Minor tone을 順次的으로 發生시키고 side-tone과 Pseudorandom binary-encoded ambiguity resolving code에 의해 644,000 km의 距離에 까지 地上에서 發射된 Range 信號가 人工衛星에서 再 發射되어오는 遲延 時間을 測定함으로써 1 nsec 당 15 cm의 分解能으로 距離測定이 可能하다.

(2) Laser Ranging 方式은 人工衛星에 Laser를 發射시켜 反射되는 光 信號를 檢出하는 LIDAR (Light Detection and Ranging) 方式에 의해서 2 cm이내의 精度로서 位置檢出이 可能하다.

(參照 그림 7의 LIDAR System Block Diagram)

IV. 人工衛星 追跡 誤差

光學 또는 電波에 의한 衛星追跡時 人工衛星의 位置情報 取得에 따른 衛星과 追跡裝置間의 電波通路 또는 光學通路 (Propagation Path) 상의 大氣圈과 電離層의 狀態 變動과 周波數에 따른 衛星追跡 誤差가 發生된다.

1. 大氣圈 影響

가. 大氣屈折率 (refractive index); 標準大氣 狀態의 條件이 變化함으로써 發生되는 屈折指數 (reflectivity : N)가

$$N = (n - 1) \times 10^6 \text{ (NU)} \text{에서 } N = 77.6 \frac{P}{T} + \\ 3.73 \times 10^5 \frac{e}{T} \text{ (NU)}$$

여기에서 P : 大氣壓 (mb), e : 수증기압 (mb), T : 絶對溫度 ($^{\circ}$ K) 가 되어 水晶屈折率 (n) 과 水晶屈折指數 (M) 는

$$m = n + \frac{h}{a}, M = (n - 1 + \frac{h}{a}) \times 10^6 \\ = N + 157 h \text{ (MU)}$$

여기에서 $r = 6378 km$, h = 地表面으로 부터 大氣의 높이가 되므로 大氣圈의 氣象條件에 따라서 到來 方向이 變化한다.

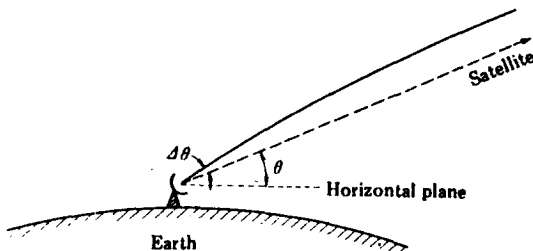


그림 15. 大氣圈 屈折率 變化에 따른 Tracking 誤差

나. 大氣 Scintillation : 大氣圈 屈折率의 不規則한 變動에 到來 電波의 受信強度와 光源의 強度가 變動하는 것으로 그 強度의 變動에 대한 標準偏差 (δx) 는 :

$$\delta x = \frac{1}{2} \log_{10} [\frac{32}{3} \sqrt{\pi \Delta n^2} (\frac{LA(\theta)}{\ell_0})^3]$$

$F(p)$ (db) 가 되어 大 구경의 안테나 또는 望遠鏡에 의한 觀測時 影響이 크다.

다. 降雨·降雪影響 : 降雨·降雪時의 粒子에 의한 吸收와 散亂에 의한 減殺 및 散亂波의 受信到來 方向變動 그리고 交叉偏波特性의 識別波 鈍化 (Cross-polarization discrimination degradation) 에 따른 受信強度의 變動과 偏波識別度 鈍化에 따른 追跡誤差가 發生된다.

2. 電離層 影響 :

가. Faraday Rotation : 電波가 電離層을 通過時 地磁界 影響에 따른 plasma에 의해서 Faraday 效果가 아래와 같이 發生되어 偏波面이 回轉함으로써 受信 안테나의 偏波極性 不一致에 따른 受信強度가 變化된다.

$$\Omega = \frac{e^3}{8\pi^2 m^2 \epsilon_0 f^2} \int_I NB \cos \theta d\ell \\ = 2.365 \times 10^4 \frac{1}{f^2} \int_I NB \cos \theta d\ell$$

여기에서 Ω : Faraday 回轉角度, f : 周波數, e : 電子의 電荷, m : 電子의 質量, ϵ_0 : 誘電率, N : 電子 密度, B : 磁速 強度, θ : 電波路와 地磁界와의 이루는 角度, ℓ : 電波通路 길이, 따라서 円偏波의 利用과 10GHz 以上의 높은 周波數 利用이 要求된다.

나. 電離層 Scintillation : 衛星으로 부터 送信된 電波가 電離層에 의한 振幅, 位相, 到來角, 偏波狀態 등의 不規則한 變動을 發生시키는 것으로서 sporadic-F, sporadic-E 層의 發生時 影響이 많고, 電離層 狀態의 變動에 의해 크게 變化되어 太陽活動도 地球磁界의 變動, 地域 또는 時間 變化가 發生되며 中緯度地域에서도 M/W帶에 까지 影響이 發生된 것이 報告되었다.

다. 到來角 變動 : 電離層內의 40 ~ 400 km의 高度에서의 電離層 密度가 攪亂되어 (Traveling Ionospheric Disturbance) 電離層을 通過하는 電波의 到來角이 變動되는 것을 말한다. 또한 Auroral Zone에서의 Auroral 와 polar cap Absorption (PCA) 등의 現象에 의해 しても 發生된다.

라. 電波 時間遲延 : 電離層을 通過하는 電波는 電子密度의 增加에 따라서 傳送時間의 遲延이 發生되고 使用 周波數帶역이 넓을수록 differential Group delay가 發生되어 Ranging 誤差의 發生要因을 일으킨다.

3. Doppler 效果

移動衛星과 地球局間의 相對速度 變化에 따라 發生되는 $\Delta f = \pm f_0 \cdot \Delta \dot{V}/c$ 的 doppler shift

發生으로 追跡 受信周波數 變動에 따른 追跡誤差가 發生된다.

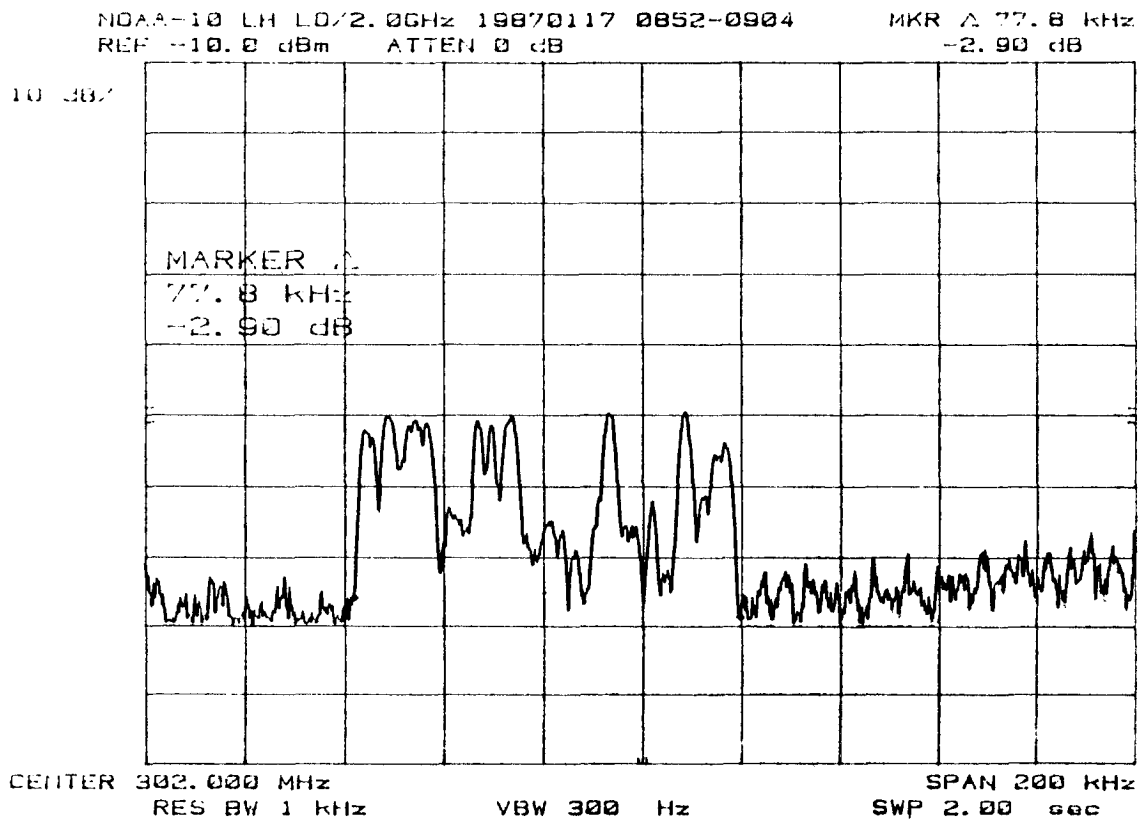


그림 16. NOAA-10 衛星追跡市 發生된 Doppler shift 受信 例 (RRL)

V. 結 論

人工衛星이 우리 生活에 實用化되고 있고 限
定된 資源의 管理와 開發 및 通信利用과 需要가
急增하고 있으며, 軍事的인 目的에서까지 宇宙가
兵器化 되고, 各國에서의 宇宙開發 競爭은 國力
象徵化되고 있는 實情이다. 이에 人工衛星 追跡
과 監視 및 關係技術은 人工衛星 實用에 必要
不可決한 要素가 되고 있고, 앞으로 國內에서
實用化될 放送, 通信衛星 發射에 對備하여 人工
衛星의 追跡과 關係技術 蓄積이 切實한 이때 當
電波研究所에서 設置 運用 實驗中인 多周波數帶
衛星追跡受信 裝置를 利用한 人工衛星이 追跡과

軌道 豫測技術 및 諸 關係影響을 研究할 것이며
關聯技術도 漸次 施設 擴充과 함께 遂行될 것
이다.

參 考 文 獻

1. CCIR Rep.548 ; 1984. ITU
2. 육재림 外2 ; “UHF 電波傳播研究(2)” ;
研究報告書 p.7 ~ p.60, Vol.38.(1979)
電波研究所
3. F.F.Slack and et al.; “Tracking
and Display of Earth Satellites” ;
proc. IRE p.655 ~ 663, Apr.1960.

4. 野鳥正義；“人工衛星의 開發과 追跡管制”
; p.3 ~ p.13. 1978 電波振興會
5. CCIR Rep. 546-2 ; 1984. ITU.
6. E.G.Mueller et al ; “Communication Satellites”, p 37 ~ 67, 1964, John Wiley
7. CCIR Rep. 843 ; 1984. ITU
8. Desmond King-Hele “Observing Earth Satellites” ; p.106 ~ p.143, 1982
9. CCIR Rep. 548-1 ; 1984. ITU
10. R. L, Easton et al ; “The Navy Space Surveillance System” ; Proc. IRE, p.663 ~ p.669, Apr.1960.
11. CCIR Rep. 276-1 ; 1974. ITU
12. D.R Rhodes ; Introduction to Mono-pulse, 1980. Rep.
13. CCIR REP 700-1 ; 1984. ITU
14. 육재림 外 2 ; “UHF 電波傳播研究” ; 研究報告書 p. 7 ~ p.51. Vol 32. 1978. 電波研究所
15. K. Takahash et al.; “Error in Range of a ground satation to a stationary satellite in Range-Rate Measurement induced by the Atmosphere” ; p. 99 ~ p.115, Vol.16, 85/86, JRRL
16. G.C.Weiffen Bach ; “Measurement of the Doppler shift of Radio Transmission from Satellites” ; Proc. IRE, p.50 ~ 758. Apr.1960.